К статье: Антипин А.Н., Баженова Е.А., Вдовин А.Г., Федосов М.А., Хацкевич Б.Д. – «Результаты комплексирования наземных геофизических методов на Северо-Тараташском участке»

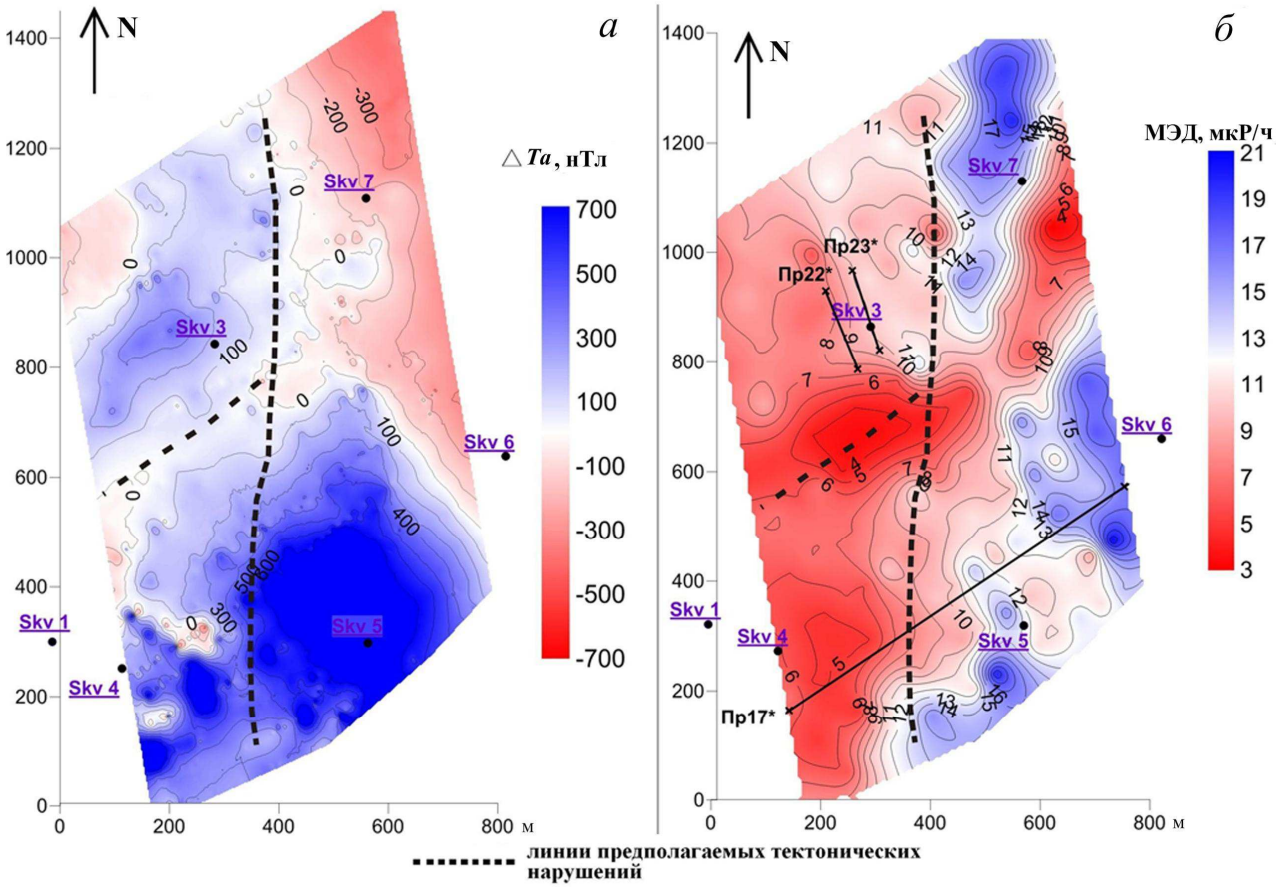

Рис. 2. Карты аномального магнитного поля (Δ*Ta*) и мощности экспозиционной дозы (МЭД). Масштаб 1:10000:
Skv – пробуренные скважины; ПР – профиль

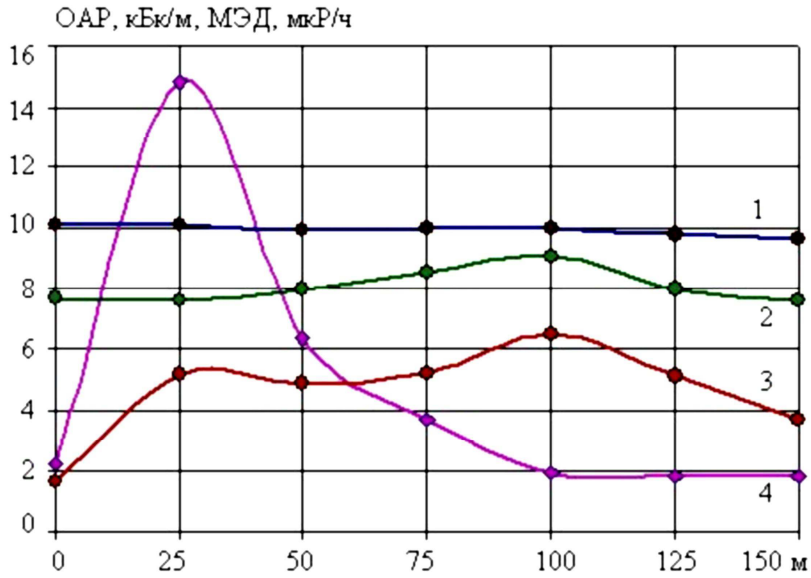

Рис. 4. Мощность экспозиционной дозы (кривые 1 и 2) и объемная активность радона (кривые 3 и 4) по профилям № 23 и № 22, соответственно

К статье: Беликов В.Т., Козлова И.А., Рывкин Д.Г., Юрков А.К. – «Особенности развития процесса разрушения образца гранита при медленном изменении нагрузки»

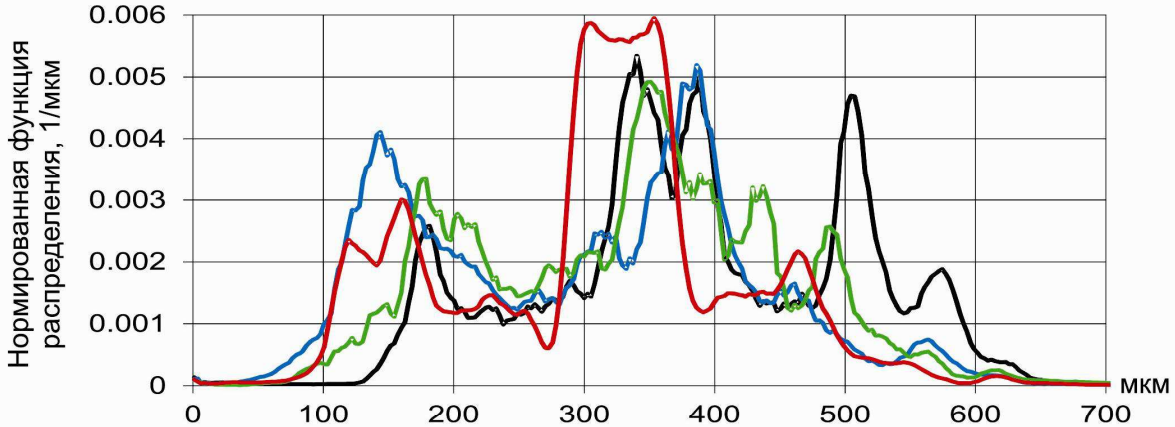

Рис. 2. Нормированные функции распределения второго приближения

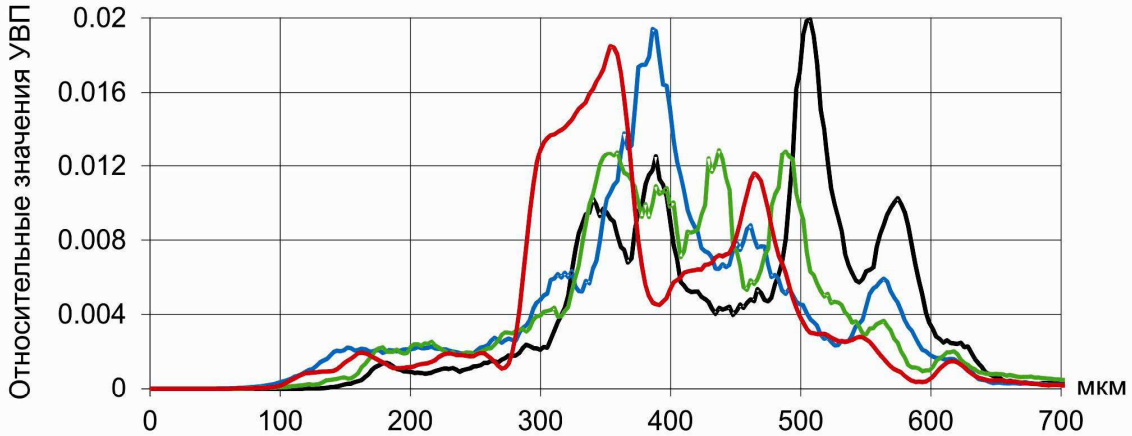

Рис. 3. Распределения относительных значений УВП

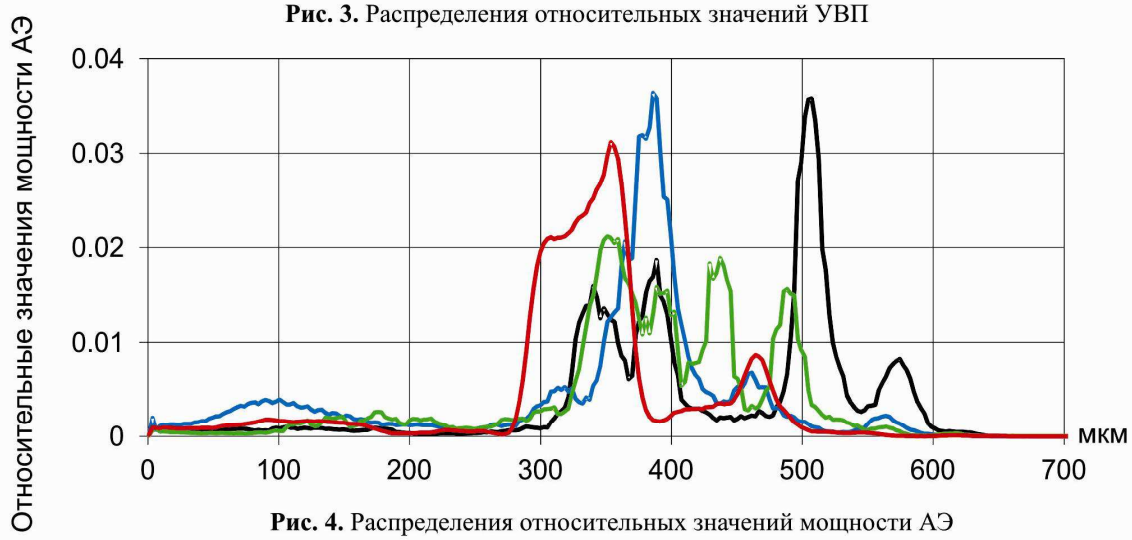

Рис. 4. Распределения относительных значений мощности АЭ

На рис. 2 – 4 **черные** кривые соответствуют моменту времени t_1, **синие** – t_2, **зеленые** – t_3 , **красные** – t_4

К статье: Дружинин В.С., Начапкин Н.И., Осипов В.Ю. – «Плотностные неоднородности верхней части литосферы северо-западной окраины Западно-Сибирской платформы»

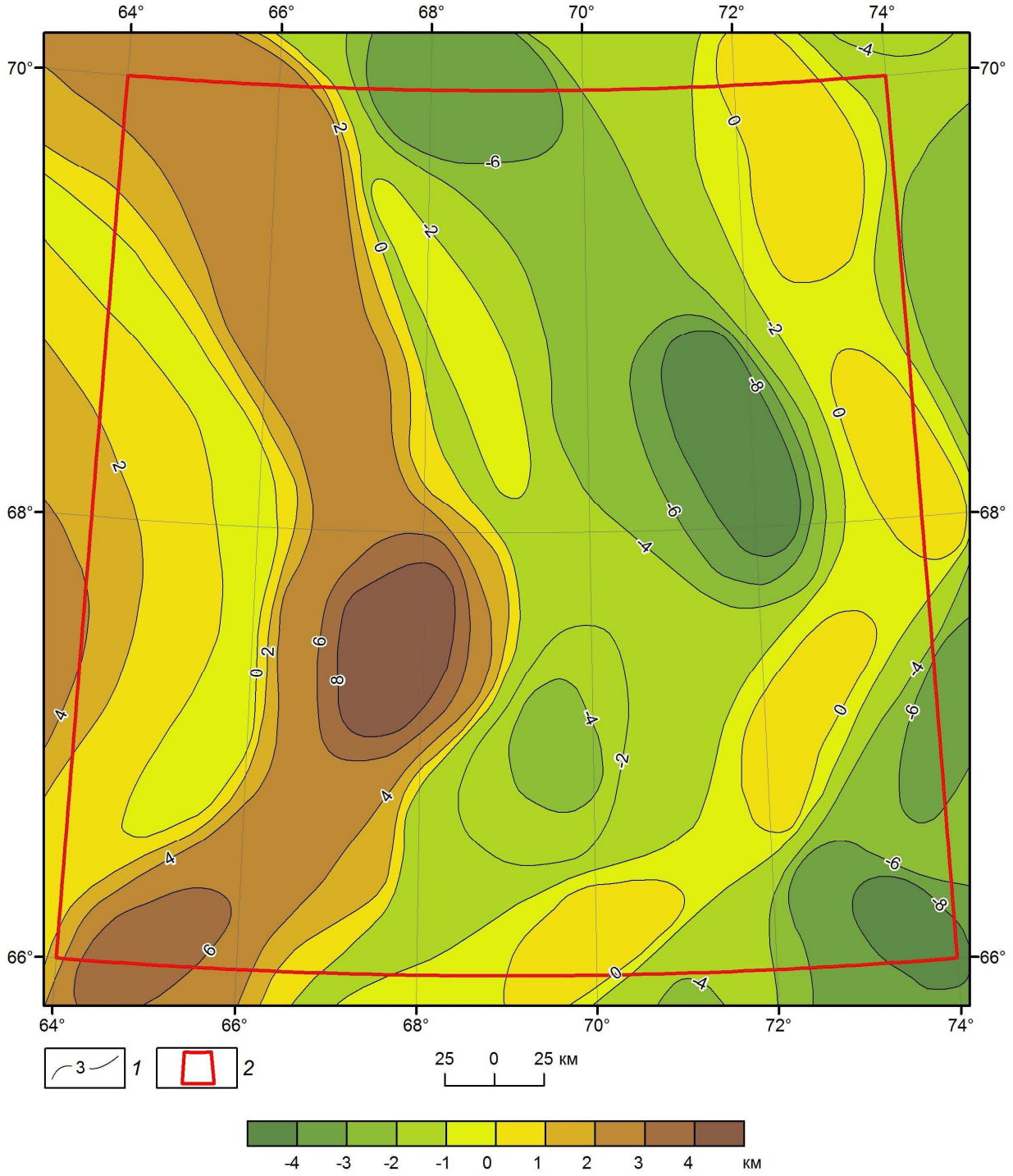

Рис. 1. Схема вариаций рельефа поверхности Мохоровичича Ново-Портовской площади относительно среднего значения (46 км):

1 – изогипсы вариаций рельефа поверхности Мохо относительно среднего значения (46 км);

2 – контур Ново-Портовской площади

К статье: Дружинин В.С., Начапкин Н.И., Осипов В.Ю. – «Плотностные неоднородности верхней части литосферы северо-западной окраины Западно-Сибирской платформы»

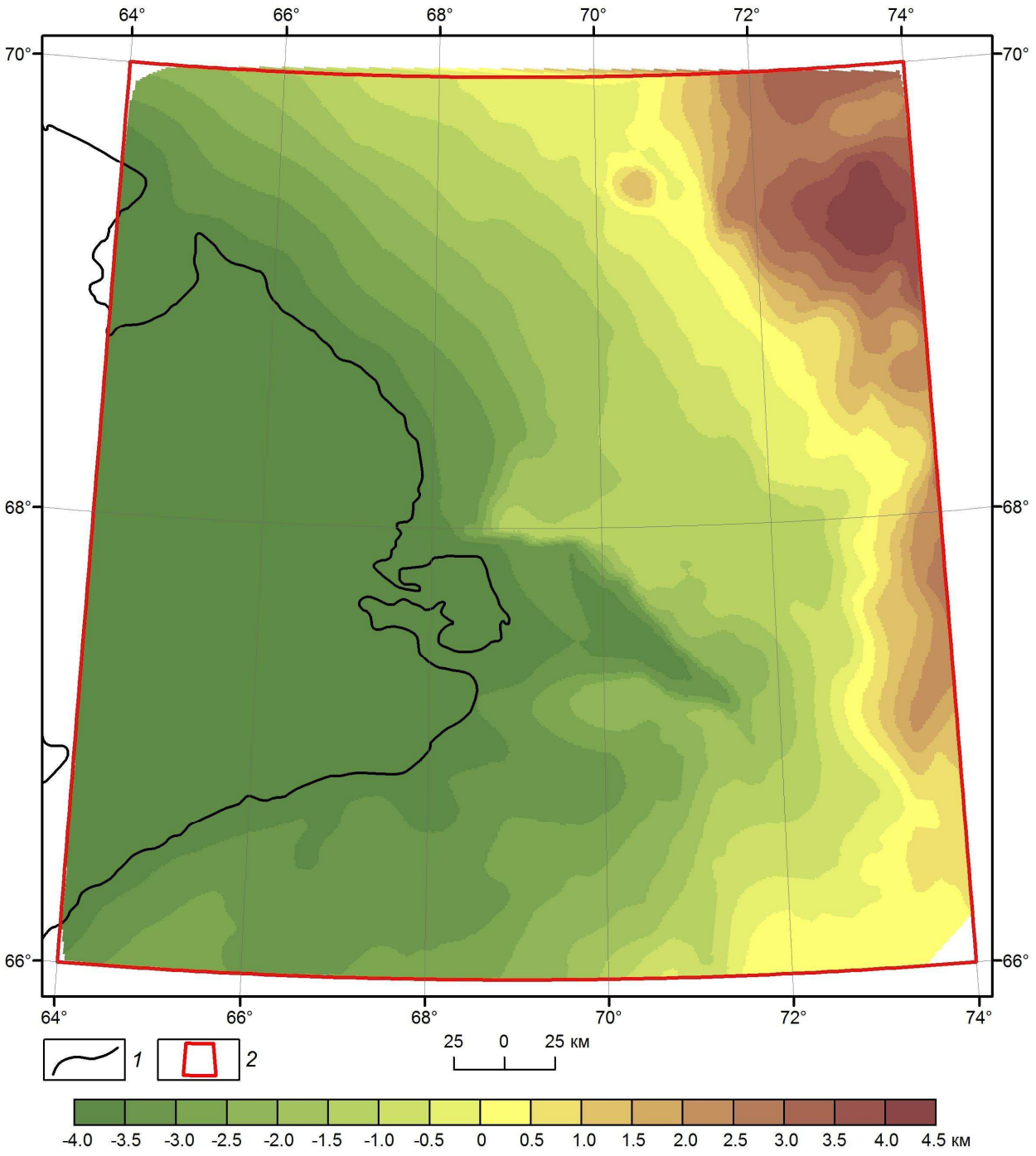

Рис. 2. Схема вариаций мощности MZ–KZ чехла относительно среднего значения (4 км), составленная по материалам предоставленным ОАО «СибНАЦ» о рельефе отражающего горизонта *А*, принятого за поверхность доюрского комплекса:
1 – граница обнаженного Урала; *2* – контур Ново-Портовской площади

К статье: Дружинин В.С., Начапкин Н.И., Осипов В.Ю. – «Плотностные неоднородности верхней части литосферы северо-западной окраины Западно-Сибирской платформы»

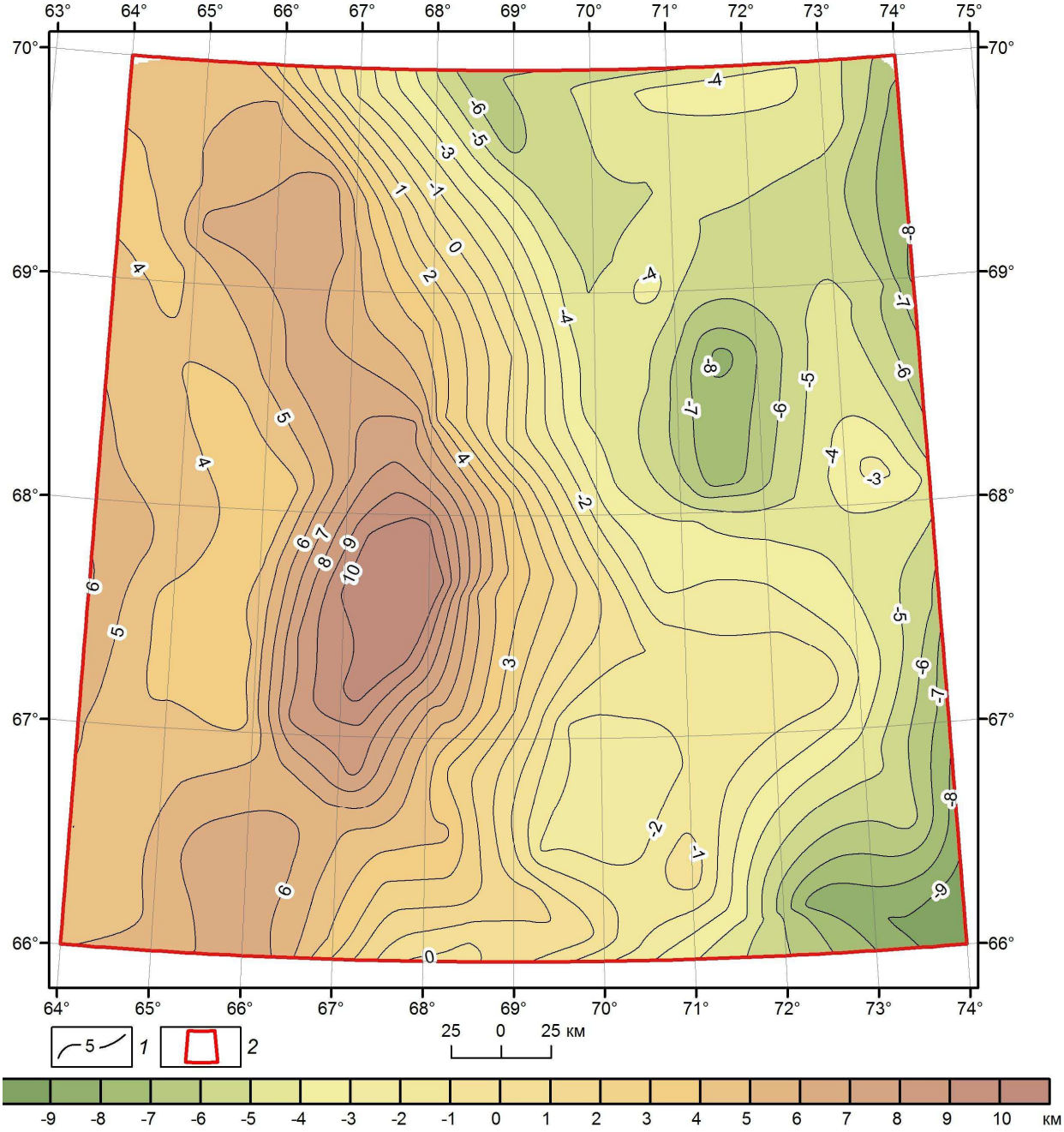

Рис. 3. Схема вариаций мощности консолидированной коры Ново-Портовской площади относительно среднего значения (43 км):

1 – изолинии вариаций мощности консолидированной коры относительно среднего значения (43 км);

2 – контур Ново-Портовской площади

К статье: Дружинин В.С., Начапкин Н.И., Осипов В.Ю. – «Плотностные неоднородности верхней части литосферы северо-западной окраины Западно-Сибирской платформы»

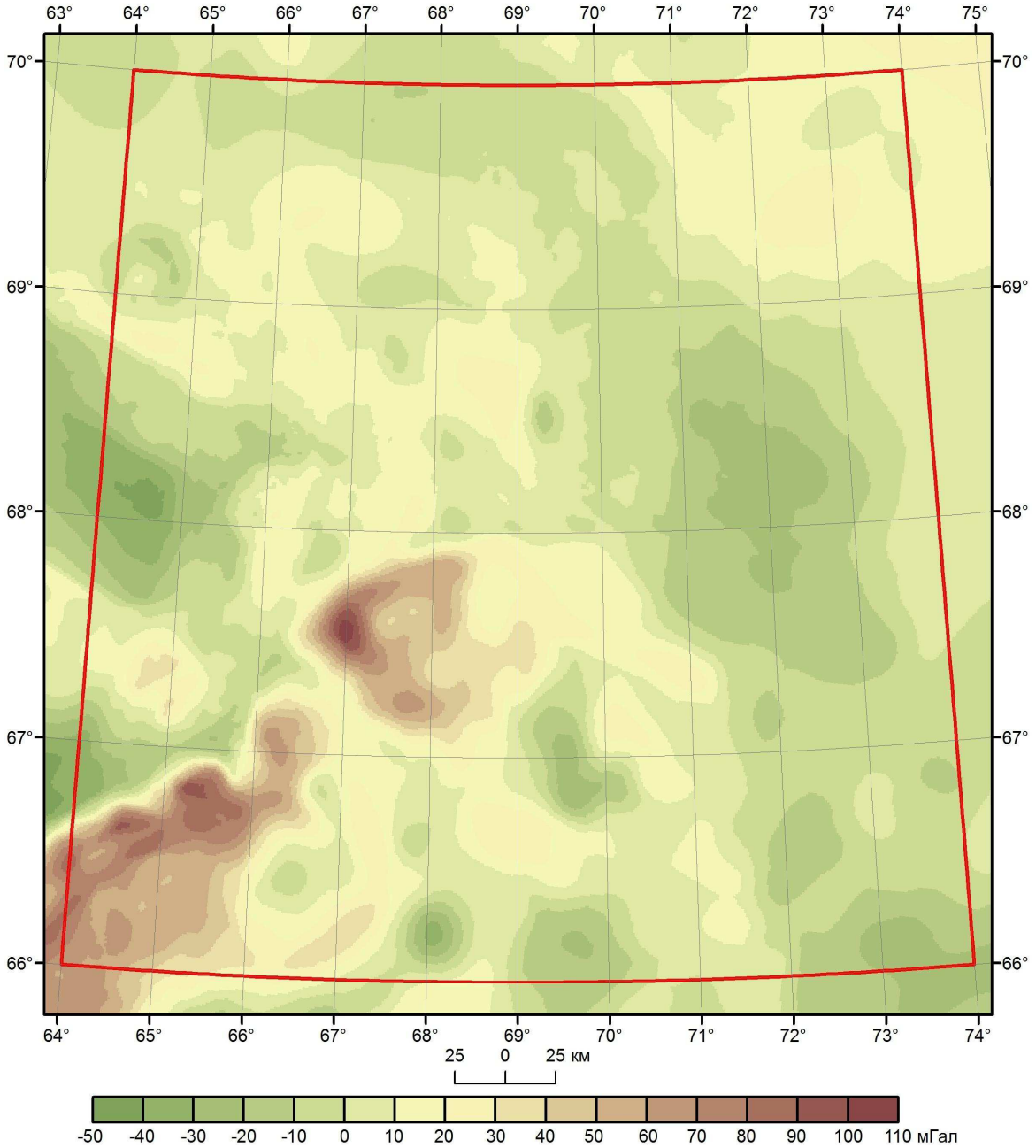

Рис. 5. Карта аномального гравитационного поля Δg

К статье: Дружинин В.С., Начапкин Н.И., Осипов В.Ю. – «Плотностные неоднородности верхней части литосферы северо-западной окраины Западно-Сибирской платформы»

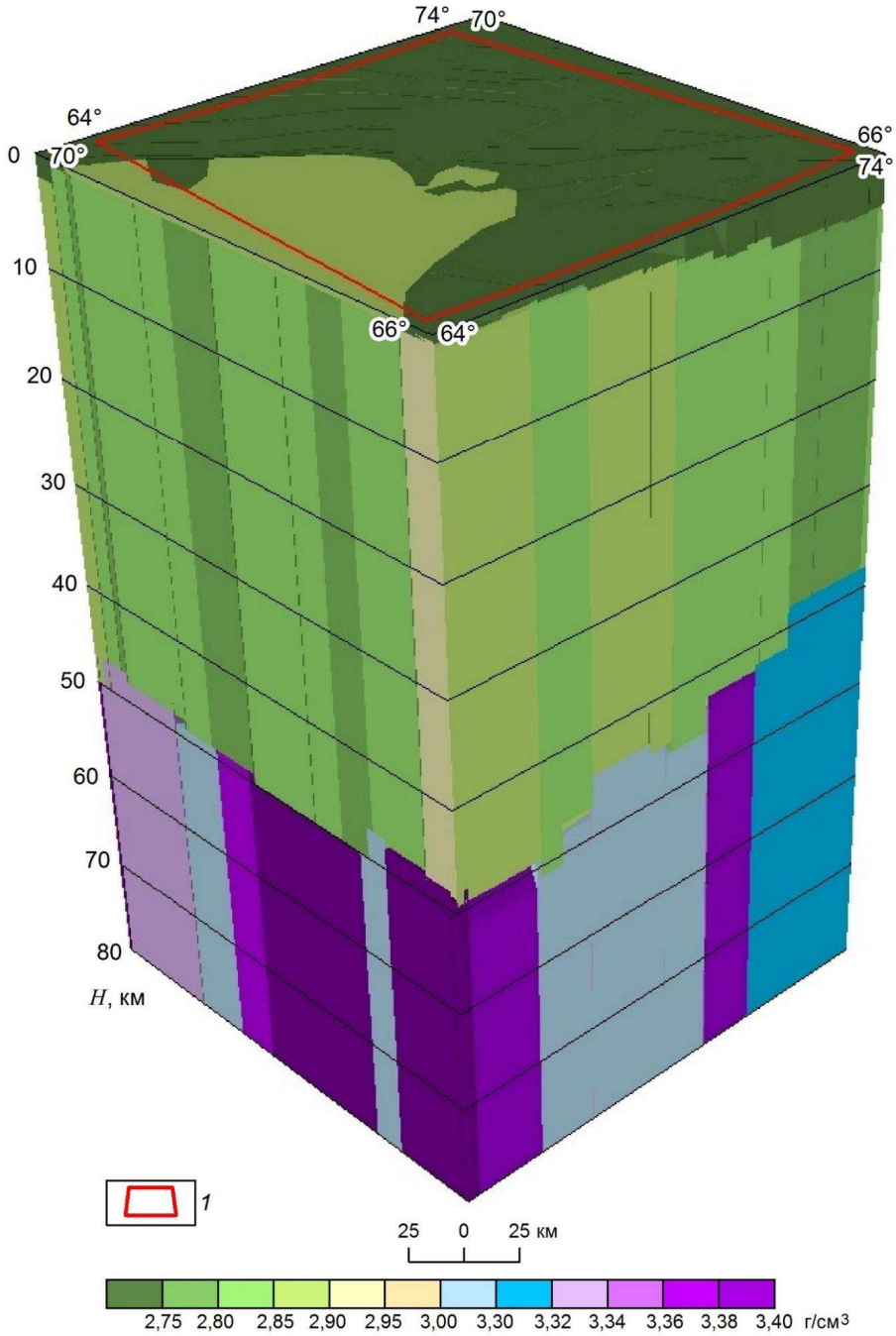

Рис. 6. Плотностная 3D модель верхней части литосферы Ново-Портовской площади (слой 0–80 км):
1 – контур Ново-Портовско-Салехардского района

К статье: Дружинин В.С., Начапкин Н.И., Осипов В.Ю. – «Плотностные неоднородности верхней части литосферы северо-западной окраины Западно-Сибирской платформы»

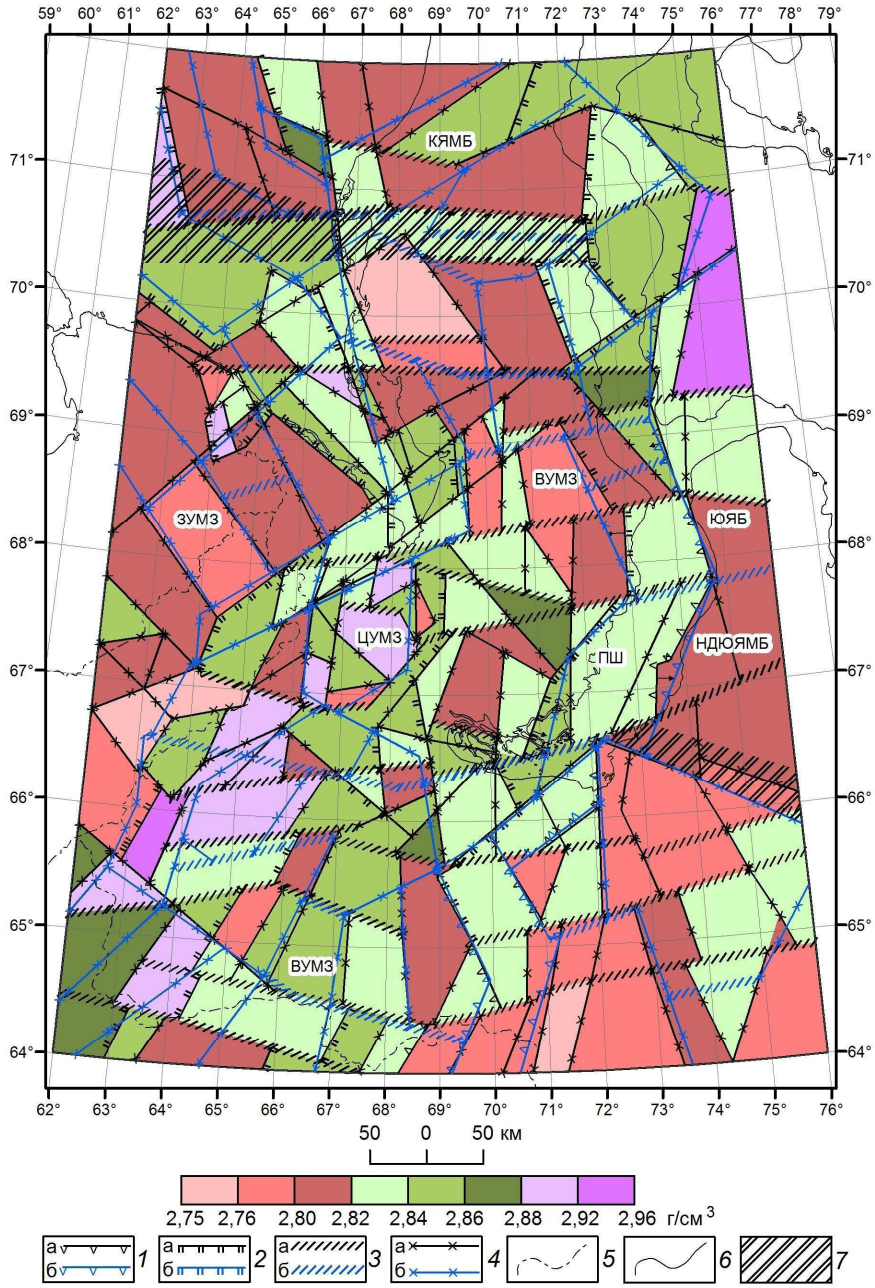

Рис. 7. Схема тектонического районирования консолидированной коры Ново-Портовско-Салехардского района с вынесенными перспективными участками, предлагаемыми для более тщательного анализа с учетом имеющейся конкретной геолого-геофизической информации:

Тектоническое районирование (*1–4*): а – консолидированной коры, б – верхов верхней мантии: *1* – восточная граница Уральской складчатой системы (УСС); стрелка обозначает направление тектонических границ консолидированной коры по отношению к слою *M*–80 км; *2* – контуры основных подразделений консолидированной коры; *3* – глубинные субширотные дислокации верхней части литосферы; *4* – глубинные разломы субмеридиональной и диагональной направленности; *5* – Административные границы субъектов Российской Федерации; *6* – береговая линия; *7* – возможное северное ограничение УСС; **Буквенные обозначения. Тектонические структуры Уральской складчатой системы (УСС):** ЗУМЗ – Западно-Уральская мегазона, ЦУМЗ – Центрально-Уральская мегазона, ВУМЗ – Восточно-Уральская мегазона, ПШ – пограничная структура по восточной границе собственно Уралид; **Западно-Сибирская платформа:** НДЮЯМБ – Надым–Южно-Ямальский мегаблок, НДБ – Надымский блок, ЮЯБ – Южно-Ямальский блок, КЯМБ – Карско-Ямальский мегаблок

К статье: Дружинин В.С., Начапкин Н.И., Осипов В.Ю. – «О роли импактных событий в создании современного тектонического строения консолидированной коры (на примере района Карской астроблемы)»

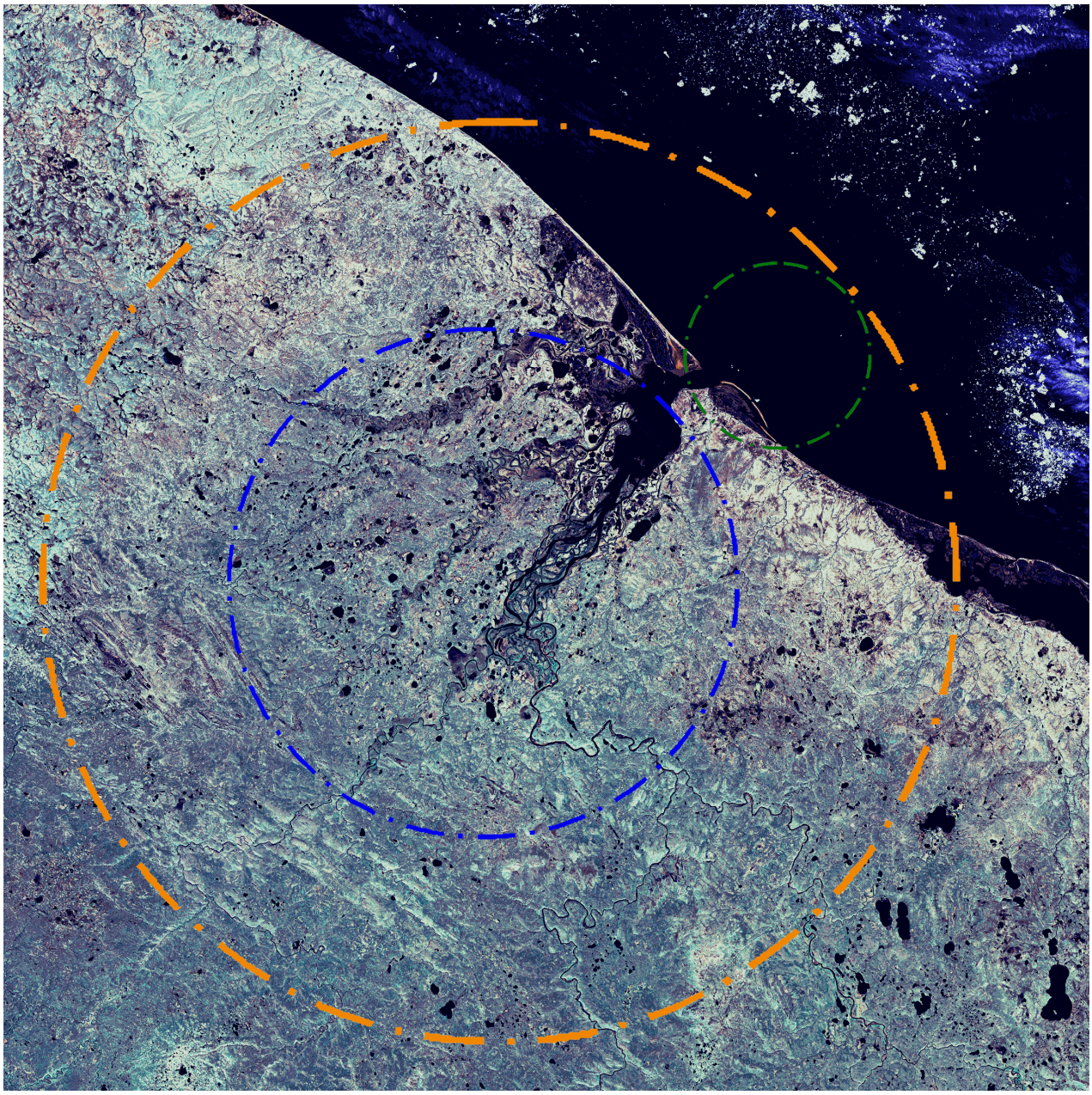

Рис. 4. Изображение Карской метеоритной структуры,
синтезированное из сюжетов, полученных спутником Landsat 7, полосы 3, 2, 1.
Желтая окружность изображает диаметр кратера в предположении о его 120-и километровом размере, синяя и зеленая окружности соответствуют диаметрам 60-ти и 22-х километровых кратеров. Кратерная воронка на снимке выражена неотчетливо, хотя по границам впадины прослеживается окаймление, выраженное теплыми фототонами (Бадюков, 2002)

К статье: Дружинин В.С., Начапкин Н.И., Осипов В.Ю. – «О роли импактных событий в создании современного тектонического строения консолидированной коры (на примере района Карской астроблемы)»

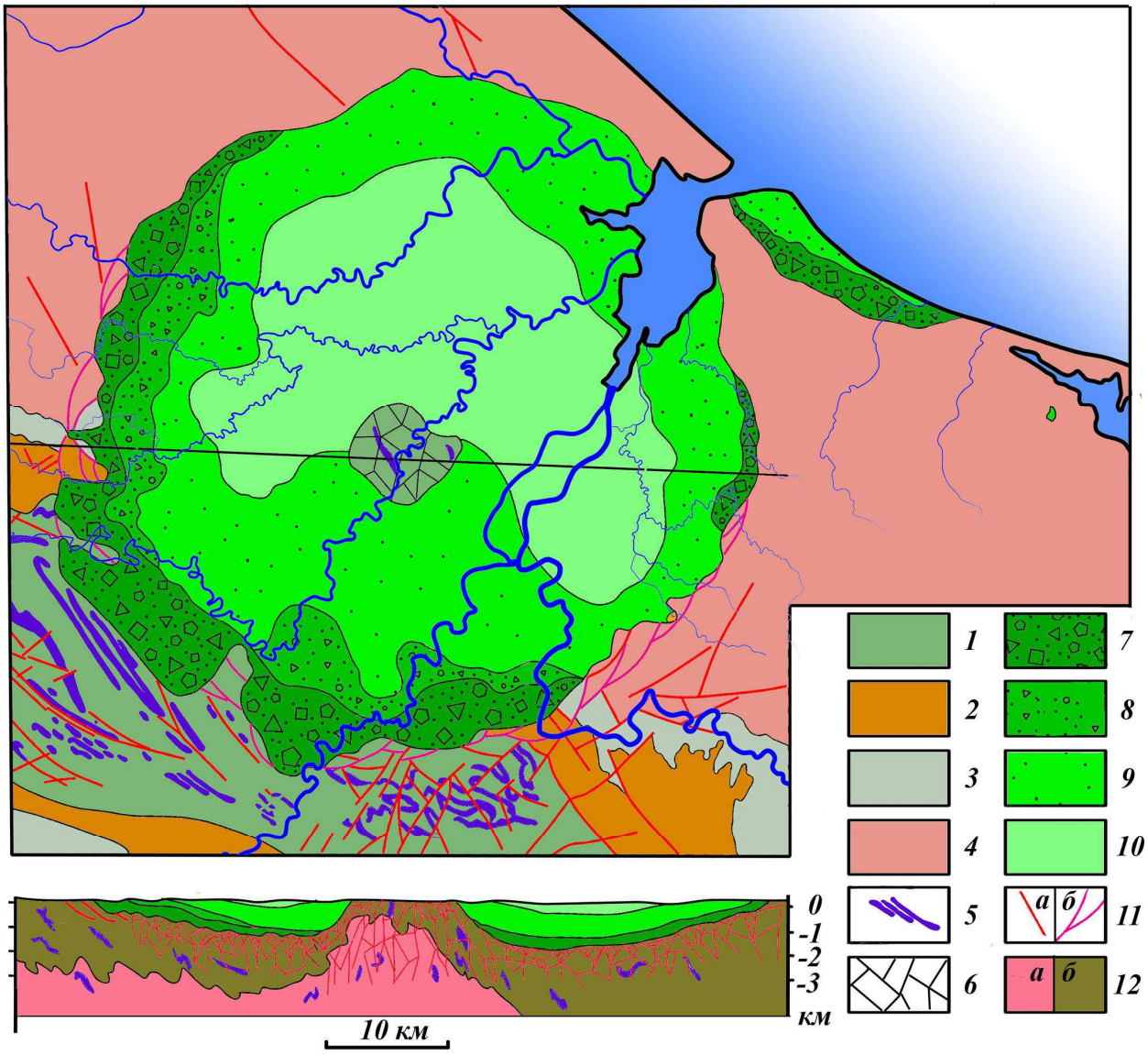

Рис. 5. Схематическая геологическая карта Карской структуры и ее геологический разрез, соответствующий линии на рисунке (Бадюков, 2002):
1 – осадочные породы силура и ордовика; *2* – сланцы, известняки и песчаники девона; *3* – каменноугольные глинистые и кремнистые сланцы; *4* – песчаники, аргиллиты и алевролиты нижней перми; *5* – дайки и пластовые тела диабазов и габбро-диабазов палеозоя; *6* – силурийские породы центрального поднятия (аутигенная брекчия); *7* – глыбовые, мега- и клиппеновые брекчии; *8* – глыбовые зювиты; *9* – лапиллиево-агломератовые зювиты; *10* – псаммито-алевритовая брекчия; *11* – разрывные нарушения: а) неустановленной природы, б) надвиги и сбросы; *12* (только для разреза) – а) протерозойские сланцы, б) осадочные породы палеозоя. По (Масайтис и др., 1980) с дополнениями

К статье: Дружинин В.С., Начапкин Н.И., Осипов В.Ю. – «О роли импактных событий в создании современного тектонического строения консолидированной коры (на примере района Карской астроблемы)»

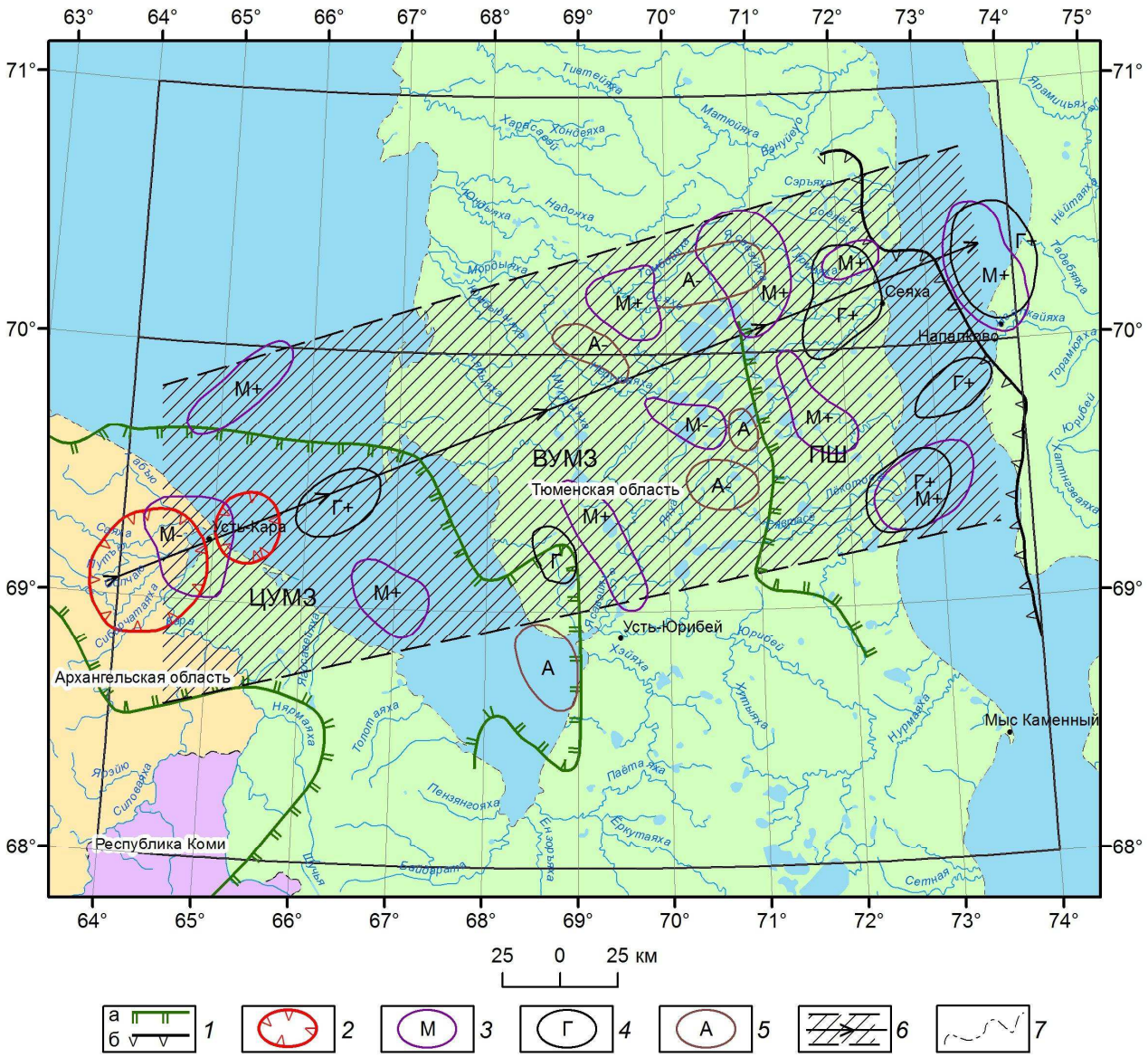

Рис. 6. Схема расположения Карской астроблемы
и характер геофизической и геоморфологической информации в окружающем ее районе:
1 – контуры основных структур консолидированной коры; *2* – контур Карской астроблемы; положения локальных аномалий (*3, 4*): *3* – магнитного, *4* – гравитационного потенциальных полей положительного и отрицательного знака, в соответствии с окраской на картах; *5* – локальные положения изолиний отражающего горизонта *А*; *6* – региональная зона импактных воздействий (ИПВ), стрелкой показано современное направление импактных воздействий; *7* – Административные границы субъектов Российской Федерации

К статье: Дружинин В.С., Начапкин Н.И., Осипов В.Ю. – «О роли импактных событий в создании современного тектонического строения консолидированной коры (на примере района Карской астроблемы)»

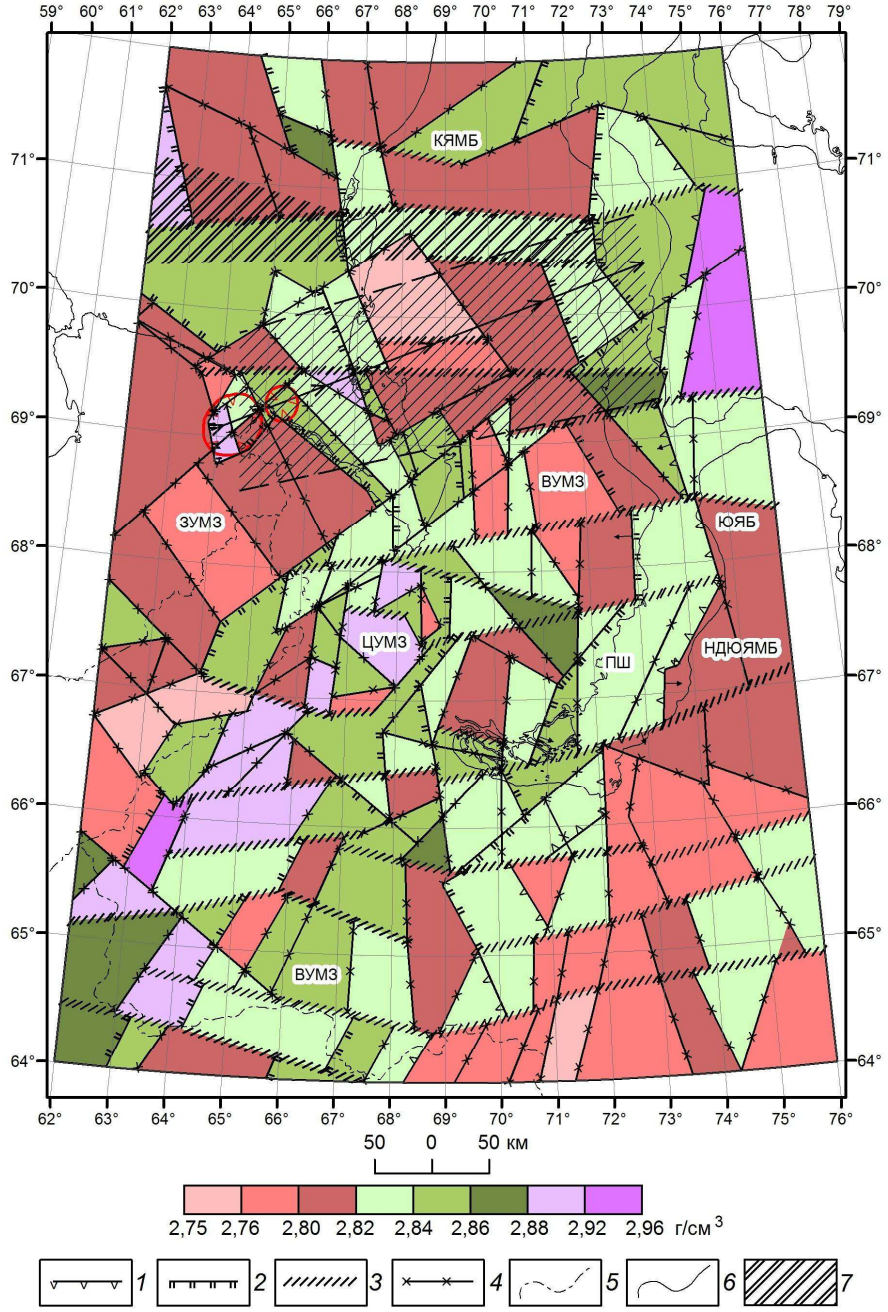

Рис. 7. Схема тектонического районирования верхней части литосферы Ново-Портовско–Салехардского района:

1 – восточная граница Уральской складчатой системы (УСС); стрелка обозначает направление тектонических границ консолидированной коры по отношению к слою М-80 км; *2* – контуры основных подразделений консолидированной коры; *3* – глубинные субширотные дислокации верхней части литосферы; *4* – глубинные разломы субмеридиональной и диагональной направленности; *5* – Административные границы субъектов Российской Федерации; *6* – береговая линия; *7* – возможное северное ограничение УСС.

Буквенные обозначения. Тектонические структуры Уральской складчатой системы (УСС): ЗУМЗ – Западно-Уральская мегазона, ЦУМЗ – Центрально-Уральская мегазона, ВУМЗ – Восточно-Уральская мегазона, ПШ – пограничная структура по восточной границе собственно Уралид; **Западно-Сибирская платформа:** НДЮЯМБ – Надым–Южно-Ямальский мегаблок, НДБ – Надымский блок, ЮЯБ – Южно-Ямальский блок, КЯМБ – Карско-Ямальский мегаблок. Остальные условные обозначения см. рис. 6

К статье: Колтышева Е.С. – «Двумерная геолого-геофизическая модель Урала»

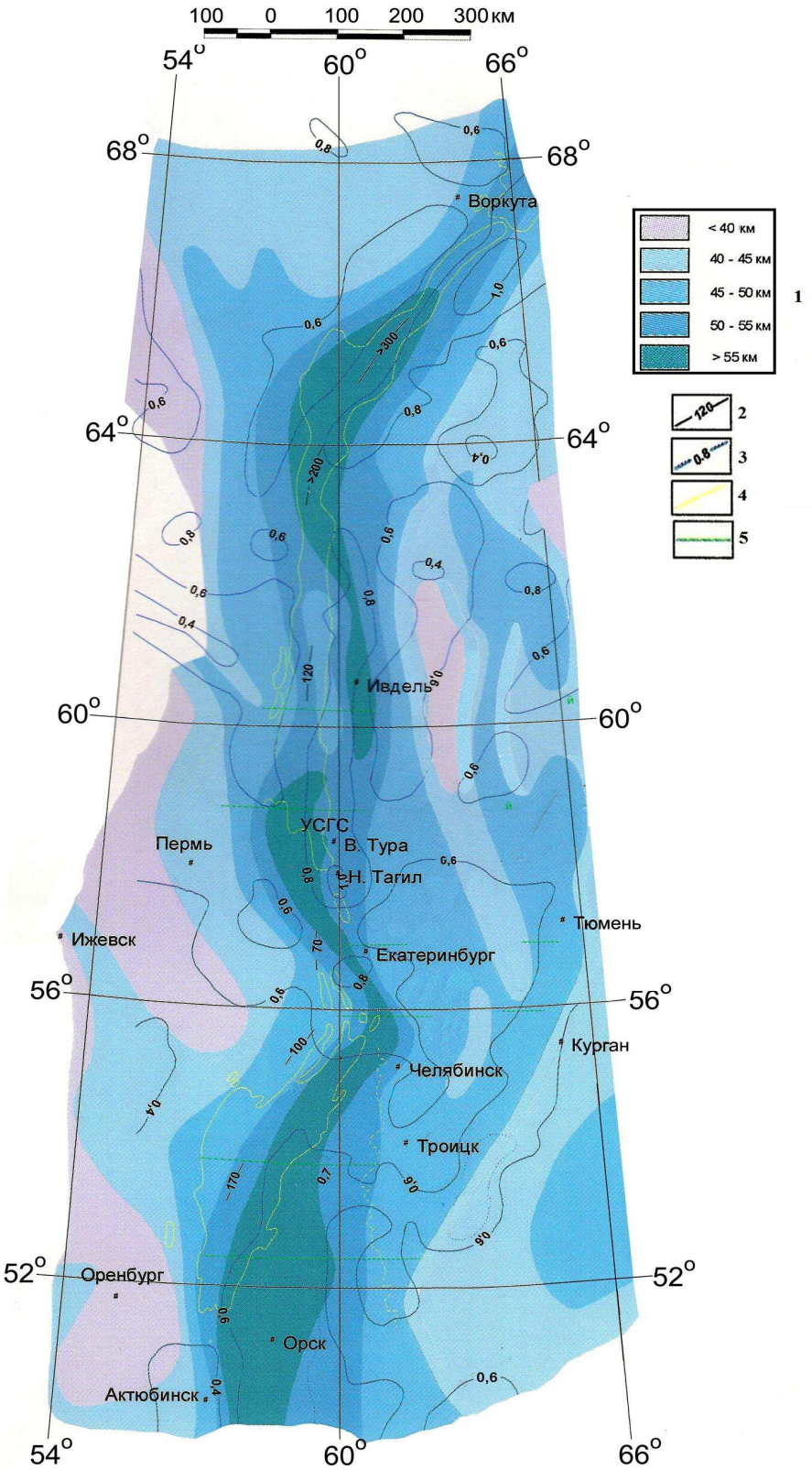

Рис. 1. Геофизические поля Урала:
1 – глубина поверхности Мохо; 2 – амплитуды неоген-четвертичных поднятий;
3 – основность земной коры; 4 – высота гор по изолинии 500 м;
5 – понижение магнитного поля на основании аэрогеотраверсов

К статье: Федорова О.И. – «Наблюдение частотной дисперсии электросопротивления при изучении грунтовых плотин»

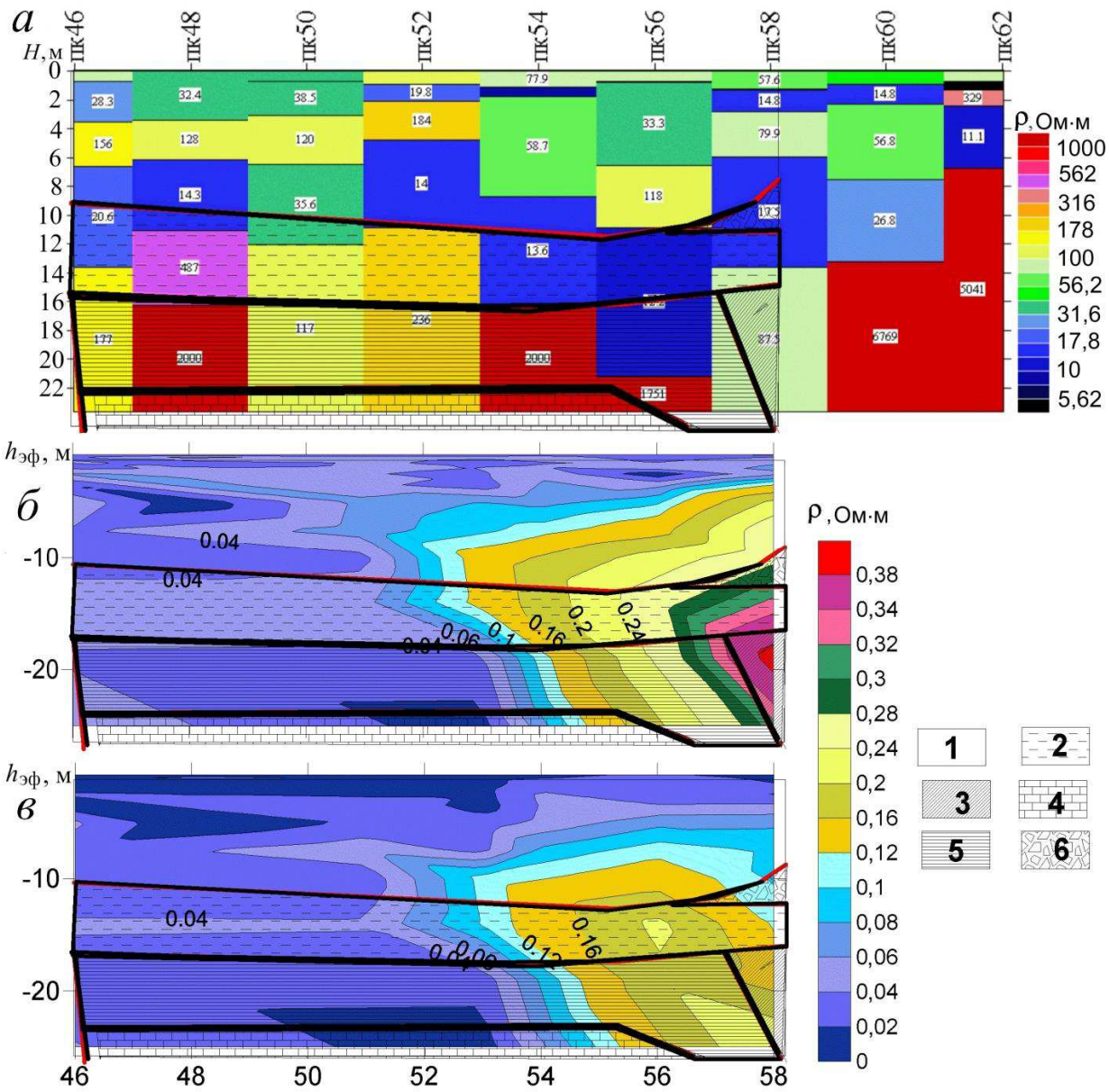

Рис. 1. Геоэлектрический разрез (*а*), разрезы частотного эффекта f_e (*б*) и коэффициента частотной дисперсии k (*в*):
1 – тело плотины; 2 – аллювиальные отложения; 3 – элювиальные суглинки; 4 – известняки; 5 – глины; 6 – делювиальные суглинки